

ستز لایه نازک نانوساختار زیرکونات تیتانات سرب بر پایه الکل‌های چندعاملی

ابوالقاسم نورمحمدی*

گروه مهندسی نانوفناوری، دانشکده علوم و فناوری‌های نوین-دانشگاه اصفهان، اصفهان، ایران.

تاریخ ثبت اولیه: ۱۳۹۷/۰۵/۰۲، تاریخ دریافت نسخه اصلاح شده: ۱۳۹۷/۱۱/۰۹، تاریخ پذیرش قطعی: ۱۳۹۸/۰۴/۲۲

چکیده در پژوهش حاضر لایه‌های نازک نانوساختار زیرکونات تیتانات سرب (PZT) به روش سل-ژل با استفاده از پیش‌مواد کلریدی و یک الکل چندعاملی ستز گردیدند. پروپیلن گلایکل هم به عنوان عامل چنگاله‌کننده و هم به عنوان حلال در تهیه سل PZT و به منظور تولید لایه‌های نازک با کیفیت PZT به کار گرفته شد. پس از تهیه زیرلایه، لایه‌های PZT به روش چرخشی بر زیرلایه Au/SiO₂ انباشت شدند و هر لایه پس از خشکشدن در دمای ۴۵۰°C پیرولیز گردید. پخت لایه نازک نهایی نیز در دمای ۵۷۵°C انجام شد. مشاهده شد که روش حاضر دارای مزیت‌های متعددی است: مواد اولیه در این روش ارزان قیمت است، برخلاف روش متداول آلکوکساید، سل PZT بدست آمده از این روش پایداری بسیار زیادی داشته و علی‌رغم گذشت چندین سال از زمان تولید همچنان پایدار است و مطالعه رفتار حرارتی ژل PZT تولید شده با DTA/TGA نشان می‌دهد که دمای تشکیل فاز پروفسکایت PZT در محدوده ۴۵۰°C تا ۵۷۵°C است، در حالی که در روش متداول آلکوکساید ۶۵۰°C و بالاتر است. بررسی‌های پراش اشعه ایکس (XRD) تشکیل ساختار پروفسکایت PZT در دمای ۵۷۵°C را تایید کرد. از تصاویر میکروسکوپ الکترونی رویشی (SEM) و میکروسکوپ نوری نیز برای بررسی کیفیت سطح لایه‌ها استفاده شد که حصول لایه‌های نانوساختار یکنواخت را نشان دادند. برای تایید مجدد ترکیب، آلتایز EDS به همراه SEM صورت گرفت که تاییدکننده حضور عناصر تشکیل‌دهنده ترکیب PZT می‌باشد.

کلمات کلیدی: فروالکتریک‌ها، لایه‌های نازک، ستز سل ژل، PZT، الکل‌های چند‌عاملی.

Synthesis of Lead Zirconate Titanate Nanostructured Thin Films Using Polyols

Abolghasem Nourmohammadi*

Department of Nanotechnology Engineering, Faculty of Advanced Science and Technologies, University of Isfahan, Isfahan, Iran.

Abstract Here, nanostructured lead zirconate titanate (PZT) thin films were deposited on Au/SiO₂ substrates through the polyol-based sol-gel process using chloride precursors and a dihydric alcohol. Propylene glycol was used as both the chelating agent and the solvent to prepare high-quality PZT thin films. Our polyol-based method exhibited several advantages: The process is cost-effective because of the low cost of the precursors, also, unlike the conventional alkoxide-based method, the prepared PZT sols were stable for several years, and the perovskite PZT phase could form at low temperature, within 450 - 575°C, according to DTA/TG results. Thus, once the substrate was prepared, PZT layers were deposited by spin coating the sol, followed by ambient drying and pyrolysis at 450°C. The final PZT thin films were annealed at 575°C. X-ray diffraction (XRD) analysis confirmed crystallization of the PZT perovskite structure at 575°C in the annealed nanostructured films. Both optical and SEM images showed that PZT films are uniform and crack free. The EDS analysis confirmed that the films consist of the PZT components.

Keywords: Ferroelectrics, Thin films, Sol-gel preparation, PZT, Polyols.

*عهده دار مکاتبات

نشانی: گروه مهندسی نانوفناوری، دانشکده علوم و فناوری‌های نوین-دانشگاه اصفهان، کد پستی: ۸۱۷۴۶۷۳۴۱۱

تلفن: ۰۳۱-۳۷۹۳۴۰۴، دورنگار: ۰۳۱-۳۷۹۲۳۴۲، پیام نگار: a.nourmohammadi@sci.ui.ac.ir

۱- مقدمه

موفقیت از نیترات زیرکونیوم به جای پیش‌ماده آلکوکساید زیرکونیوم استفاده کرده‌اند [۱۰]. گزارش آن‌ها نشان می‌دهد که استفاده از نمک نیترات زیرکونیوم، می‌تواند سبب کاهش محتوى کربن نسبت به پیش‌مواد آلکوکساید حاوی کربن باشد که نتیجه آن کمتر شدن انقباض و در نتیجه کاهش احتمال ایجاد ترک در لایه‌ها است. همچنین مشابه آن، سنتز به کمک الكل‌های چندعاملی است که امروزه به یکی از روش‌های مورد توجه پژوهشگران نانوفناوری برای تولید نانوساختارهای فلزی و اکسیدی تبدیل شده است [۱۱]. مزیت مهم این روش آن است که امکان تولید ذرات اکسیدی به صورت تکپراکنده^۱ درون محلول‌های آبی یا سایر حلال‌های قطبی را به دست می‌دهد. از سوی دیگر در این روش می‌توان از پایدارسازی استریک (پوشاندن سطح نانوذرات با زنجیره‌های پلیمری) که عامل افزایش شدید محتوای کربنی محلول می‌گردد، نظیر آنچه که در پیش‌ماده‌های آلکوکسایدی وجود دارد پرهیز کرد. علاوه بر این به دلیل ثابت دی‌الکتریک بالا، بسیاری از الكل‌های چندعاملی امکان حل کردن نمک‌ها یا سایر ترکیبات معدنی را دارا می‌باشند که کاربرد پیش‌مواد معدنی را ممکن می‌سازد. در ضمن، دمای جوش بالاتر آنها سبب بهبود تبلور ذرات در این روش خواهد شد [۱۲] و [۱۱]. به این ترتیب امکان تولید نانوساختارهای ترکیبات پیچیده و چندمولفه‌ای نظیر ترکیبات مولتی‌فرو یا فروالکتریک‌های واهلش‌گر^۲ به صورت تک‌فاز ممکن شده است [۱۳] و [۱۴]. این مهم، اهمیت فناورانه روش الكل‌های چندعاملی به عنوان روشی موفق و مقوون به صرفه را در جذب‌دان کرده است زیرا به خوبی مشخص شده که کاربرد الكل چندعاملی، نظیر اتیلن گلیکول (EG) سبب تشکیل ترکیب چندمولفه‌ای مورد نظر به صورت تک‌فاز می‌باشد [۱۳]. همچنین در مورد محلول‌های جامد مشخص شده که به کمک الكل‌های چندعاملی می‌توان حد حلالیت را افزایش داد که ناشی از یکنواختی ترکیب در این روش است [۱۵]. همچنین به دلیل ارزان‌قیمت بودن پیش‌مواد مورد استفاده (نمک‌های معدنی)، روش حاضر برای تولید صنعتی مناسب است در صورتی که روش پایه آلکوکساید به دلیل قیمت بالا پیش‌مواد به طور معمول مناسب تولید صنعتی نیست [۱۵].

تجارت نانوفناوری در آینده اهمیت فراوانی برای لایه‌های نازک نانوساختار از اکسیدهای پیزوالکتریک به ویژه محلول جامد زیرکونات تیتانات سرب $Pb(Zr_xTi_{1-x})O_3$ یا PZT قائل خواهد بود. خواص برتر این لایه‌ها نسبت به سرامیک‌های بالک سبب شده که پیش از این نیز وارد صحنه تجارت مواد الکترونیک شده و برای ساخت انواع قطعات الکترونیک از قبیل حسگرهای مکانیکی یا صوتی [۲۰] حافظه‌های خواندنی -نوشتندی (رم‌ها)، به کاراندازها [۳]، سیستم‌های میکرو- و نانو-الکترومکانیکی [۴ و ۵] و لایه‌های قطبیه در الکترونیک مایکروویو [۶] مورد استفاده قرار گرفته‌اند. دلیل تنوع کاربردهای PZT خواص فروالکتریک، دی‌الکتریک، پیزوالکتریک، الکتروتنگشی و پایروالکتریک برتر این ترکیب است که به ویژه در منطقه فاز مورفوتروپیک در $x=0.53$ به حداقل می‌رسد [۷].

متداول‌ترین پیش‌مواد برای تولید لایه نازک نانوساختار PZT به روش سل- ژل، پیش‌مواد آلکوکسایدی می‌باشند. اما استفاده از این پیش‌مواد با مشکلات متعددی روبرو است: به علت حساسیت شدید به رطوبت، این پیش‌مواد فوق العاده ناپایدارند، طول پیوندها در این دسته از پیش‌مواد بزرگ است و در این روش به دمای عملیات حرارتی بیشتر از $65^{\circ}C$ برای تولید بلور تک‌فاز PZT نیاز است [۸]. اما عملیات حرارتی در این محدوده دما، سبب افزایش درصد تبخیر سرب و به هم‌ریختن استوکیومتری مورد نظر می‌شود.

کاربرد پیش‌مواد آلکوکساید محتوای کربن سل را افزایش می‌دهد. به این دلیل، احیای اکسید سرب به سرب فلزی (پدیده جدایش سرب) و چند فازی شدن نمونه در این روش مشاهده می‌شود [۹]. علاوه بر این، برای بهبود پایداری محلول‌های سل پیش‌ماده لازم است که سل پایه آلکوکساید رقیق باشد. این دو عامل سبب انقباض شدید لایه‌های نازک تولید شده به کمک پیش‌مواد آلکوکسایدی و افت خواص آن‌ها می‌شود. از این‌رو، مقالات معتبری که (با موفقیت) از نمک‌های معدنی به جای ترکیبات آلکوکسایدی به عنوان پیش‌ماده استفاده کرده‌اند به شدت مورد توجه سایر محققین قرار گرفته و ارجاعات فراوانی یافته‌اند. به عنوان مثال می‌توان به مقاله Meng^۱ و همکاران اشاره کرد که با

³ Relaxor

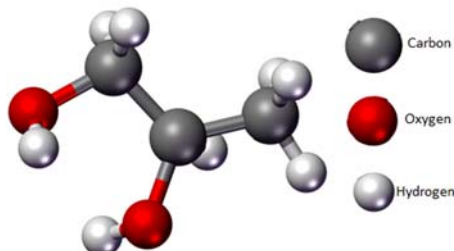
¹ Meng

² monodispersed

۲- روش تحقیق

۲-۱- تهیه سل PZT

تمامی مواد شیمیایی مورد استفاده از مواد با خلوص بالا انتخاب شدند. استات سرب سه‌آبه (Pb(CH₃COO)₂.3H₂O, Merck%99)، کلرید زیرکونیوم (ZrCl₄,%99) و (TiCl₄,%99) به ترتیب به عنوان منابع سرب، زیرکونیوم و تیتانیوم استفاده شدند. همچنین پروپیلن گلیکول (C₃H₈O₂, Merck, 99.5%) یا PG (شکل) که نوعی الكل سه‌کربنی و دو عاملی می‌باشد به عنوان حلال و عامل چنگاله‌کننده مورد استفاده قرار گرفت.



شکل ۱. ساختار مولکولی پروپیلن گلایکل [۱۶].

برای تهیه سل PZT، سه محلول جداگانه از سرب، زیرکونیوم و تیتانیوم توسط انحلال در PG به ترتیب زیر تهیه شد: برای تهیه ۸ میلی مول PZT، ابتدا ۱۴/۲۱ گرم از استات تری هیدرات سرب به PG اضافه و در دمای ۱۱۰°C به مدت ۳۰ دقیقه آب‌زدایی گردید (واکنش A1 ضمیمه A). در طول این عمل، همچنین استات سرب بدون آب، به طور کامل در PG حل با آن واکنش نمود (واکنش A2) که در نتیجه، محلول PP به دست آمد. سپس ۱/۷ گرم از کلرید زیرکونیوم پس از انحلال در PG (واکنش A3) محلول PZ را حاصل کرد که برای انحلال کامل تر دمای محلول تا ۸۰°C افزایش داده شد. ۶۴۵ میکرومتر از کلرید تیتانیوم نیز در PG حل گردید (واکنش A4) و تا دمای ۶۰°C برای بدست آوردن محلول شفاف PT حرارت دید. سپس محلول استات سرب (PP) قطره‌قطره به محلول‌های Zr و Ti که روی همزن مغناطیسی در حال بهم خوردن بودند، اضافه شد تا محلول‌های PPZ و PPT حاصل شوند و رسوب کلرید سرب مازاد نیز از محلول خارج گردد (واکنش‌های A5 و A6).

ستز لایه‌های نازک پیزوالکتریک با کیفیت مناسب به کمک EG پیش از این در محدود مقاطعی مورد بررسی قرار گرفته است. برای مثال بلویل^۱ و همکاران در سال ۲۰۰۷ با استفاده از اتیلن گلایکل موفق به تولید سل بسیار پایدار PZT با خواص تکرارپذیری و عدم حساسیت به رطوبت و قابل نگهداری به مدت طولانی شدند [۱۶] که در نتیجه لایه‌های نازک PZT با ظرفیت بالا و خواص تکرارپذیر تولید شد. از طریق کترل این مراحل ستز، امکان تولید محلول‌هایی با خواص مکانیکی و شیمیایی تکرارپذیر ممکن شد. همچنین با استفاده از یک عملیات حرارتی دمای پایین شامل پیش‌پیرولیز در دمای ۵۰°C و پیرولیز در دمای ۳۶۰°C موفق شدن لایه‌های نازک PZT با ضخامت ۲۰ میکرومتر را در زمان کوتاهی تولید کنند.

در تحقیق حاضر از روش سل-ژل بر پایه پروپیلن گلایکل (PG) برای تولید لایه‌های نازک با کیفیت PZT استفاده شده است. مشاهده شد که پروپیلن گلایکول نیز نظیر اتیلن گلایکول، می‌تواند پیش‌مواد به صورت نمک را به طور کامل در خود حل کند و نظیر یک عامل احاطه‌کننده^۲ اتصال عرضی^۳ کاتیون‌ها را موجب شود [۱۸]. در عین حال، استفاده از PG به عنوان الكل چندعاملی مناسب روش سل-ژل کمتر مورد بررسی قرار گرفته است. تا آنجا که ما اطلاع داریم تنها یک مرجع از پروپیلن گلایکل برای تولید لایه‌های نازک با کیفیت PZT استفاده نموده است [۸]. در نتیجه بسیاری از ابعاد مساله مورد بررسی قرار نگرفته است. از جمله اثر عملیات حرارتی بر کیفیت لایه‌های نازک PZT گزارش نگردیده است. اما در تحقیق حاضر با بررسی اثر عملیات حرارتی، عملیات حرارتی در دمای میانی حذف شده که در نتیجه آن زمان فرایند و هزینه‌ی عملیات حرارتی به مراتب کاهش یافته است. علاوه بر آن، از زیرلایه طلا به جای پلاتین با موفقیت استفاده شده است. از آنجا که در شرایط ثبات بازارهای مالی، قیمت جهانی طلا کمتر از پلاتین می‌باشد، این امر می‌تواند هزینه تولید را کاهش دهد. همچنین برخلاف پیش‌مواد آلکوکسایدی، در تحقیق حاضر تولید لایه‌های نازک نانوساختار در زیر دمای ۶۰۰°C ممکن شده که کاهش در دمای عملیات حرارتی را سبب می‌شود.

¹ Crosslink

² Belleville

² Coordinating agent

لایه‌نشانی شدند. از آنجاکه گرانزوی PG زیاد است و کار کردن با آن احتمالاً باعث ترک خوردن لایه‌های نشانه شده می‌شود، غلظت سل تهیه شده با استفاده از اتانول خالص به نصف کاهش یافت. قطره سل روی لامی که با سرعت چرخش 3000 rpm در حال چرخش بود افکنده شد. مدت زمان لایه‌نشانی ۲۵ ثانیه انتخاب شد. لام کوارتز لایه‌نشانی شده در مجاورت هوا به مدت ۲۴ ساعت خشک گردید زیرا مشاهده شد که افزایش دما در مرحله خشک کردن سبب ترک خوردن لایه خام تشکیل شده می‌شود. عملیات لایه‌نشانی چندین لایه از پیش‌ماده PZT روى زیر لایه‌های Au/SiO_2 تکرار شد. برای حصول استحکام بیشتر و حذف اجزای آلی پس از خشک شدن برای هر سه لایه در 450°C عملیات حرارتی شد. سازه نهایی تولید شده برای یک ساعت در دمای 575°C متبلور گردید تا ساختار پروسکایت در لایه نانوساختار تهیه شده متبلور گردد. لازم به ذکر است این دما از مطالعات تجزیه حرارتی که در پخش نتایج و بحث به تفضیل مورد بررسی قرار می‌گیرد به دست آمد.

جهت بررسی تبلور PZT در لایه‌های نازک انباشت شده بر روی زیر لایه کوارتز از آنالیز پراش پرتوی X یا (XRD) استفاده شد. این آنالیز توسط دستگاه مدل BRUKER-D8 ADVANCE با استفاده از تابش $\text{CuK}\alpha$ برای سه و شش لایه از PZT انجام شد.

جهت بررسی مورفو لوژی سطحی لایه‌ها پس از انباشت روی لام کوارتز از میکروسکوپ نوری پلاریزان مدل HP استفاده شد. هم‌چنین برای ارزیابی دقیقتر مورفو لوژی لایه‌های انباشت شده از دو میکروسکوپ الکترونی روبشی (SEM) مختلف شامل VEGA2 TESCAN و LEO 435 VP, Cambridge دو بزرگنمایی مختلف استفاده شد. هم‌چنین برای ارزیابی مجدد ترکیب در هنگام انجام بررسی‌های SEM طیف‌سنجری تفکیک TESCAN-/VEGA اشعه ایکس^۳ (EDS) توسط دستگاه LMU نیز انجام شد.

این دو محلول به مدت طولانی روی همزن مغناطیسی قرار گرفتند تا واکنش سرب با کلر تکمیل گردد. محلول‌های سفیدرنگ حاصل به مدت چندین ساعت روی همزن مغناطیسی و تحت اتمسفر نیتروژن قرار گرفتند و سپس PPT و PPZ با یکدیگر ترکیب شدند تا محلول و سل ترکیب PZT را تشکیل دهند. محلول حاصل نیز چندین ساعت روی همزن مغناطیسی تحت اتمسفر نیتروژن قرار گرفت. pH محلول $4/4$ اندازه‌گیری شد که به طور قابل ملاحظه‌ای پایین‌تر از نقطه ایزوالکتریک یا PZC^1 سل pH=۷/۵ یعنی $\text{pH}=7/5$ می‌باشد و این خود عاملی در جهت پایداری سل است. محلول حاصل سانتریفیوژ گردید تا رسوب PbCl_2 آن تهیش شود.

چنگاله‌کننده‌ها مولکول‌های آلی هستند که سبب پایداری کاتیون‌های فلزی در محلول می‌شوند. محلول‌های بر پایه گلایکل به واکنش هیدرولیز احتیاج ندارند و بنابراین پایداری بسیار بالا دارند. در تحقیق حاضر هم مشاهده شد که سل حاصل بی‌رنگ و پایدار است و پایداری خوبی (حتی بیش از پنج سال) داشت. برای زدودن آلودگی‌ها و ناخالصی‌های احتمالی با استفاده از ارلن تخلیه از کاغذ صافی عبور داده شد و درون ظروف حاوی اتمسفر خشثی N_2 ذخیره گردید. برای تهیه ژل، سل PZT تولید شده در دمای 180°C به مدت چندین ساعت حرارت داده شد و هم‌زمان به کمک همزن مغناطیسی همگن گردید.

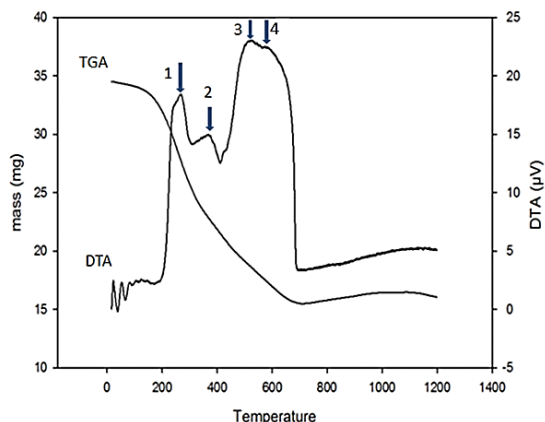
جهت بررسی واکنش‌هایی که منجر به تشکیل PZT می‌شوند از آنالیز حرارتی هم‌زمان STA شامل آنالیز حرارتی تفاضلی (DTA) و آنالیز حرارتی وزن‌سنجری (TGA²) استفاده شد. این آنالیز به کمک دستگاه آنالیز حرارتی L81, Linseis ۱۷۵۰ انجام گرفت. آزمون STA در این پژوهش از دمای اتاق (26°C) تا 1200°C در مجاورت هوا انجام شد. سرعت گرمایش $5^\circ\text{C}/\text{min}$ انتخاب گردید تا کلیه واکنش‌ها به دقت در آنالیز حرارتی شناسایی گردند.

۲-۲- انجام لایه‌نشانی

برای تولید لایه‌ها از روش لایه‌نشانی چرخشی و به عنوان زیر لایه، از لام‌های کوارتز SiO_2 استفاده شد. ابتدا لام‌های کوارتز تهیه شده، در اندازه‌های 5×5 میلی‌متر برش‌زده و با طلا

¹ Point of zero charge

² Thermogravimetric analysis



شکل ۲. آنالیز حرارتی تفاضلی (DTA) و آنالیز حرارتی وزن‌سنجی (TGA) بر حسب دما.

۳-۲- نتایج XRD

کاهش دمای عملیات حرارتی به منظور کاهش احتمال تبخیر سرب، به هم ریختن استوکیومتری نمونه، کاهش محتوای کربن سل و افزایش غلظت جامد سل همواره از چالش‌های تحقیقاتی پژوهشگران ترکیب PZT بوده است. هم‌چنین یکی از مشکلات جدی روش آلکوکساید، انقباض شدید لایه‌ها هنگام پیروولیز لایه سرامیکی تشکیل شده است که به طور عمده ناشی از درصد کربن قابل توجه این لایه‌ها است. از این‌رو، تولید لایه‌های خصیم به روش آلکوکساید اغلب دشوار است. در نتیجه شناسایی لایه‌های نازک تولیدشده به کمک XRD در این روش به طور معمول دشوار بوده و نیازمند دستگاه‌های مجهز به روش XRD زاویه کوچک^۱ است. اما در تحقیق حاضر بر پایه الکل‌های چندعاملی لایه‌هایی تولید شدند که قابل شناسایی با دستگاه XRD پودری بودند.

برای تشخیص تبلور بر مبنای آنالیز حرارتی شکل دمای ۵۷۵°C برای انجام عملیات حرارتی لایه‌های نازک تولید شده انتخاب گردید، زیرا همان‌گونه که در شکل مشاهده شد، حذف اجزای آلی در دمای ۵۷۵°C به صورت کامل انجام شده است.

۳- نتایج و بحث

۳-۱- بررسی و تفسیر رفتار حرارتی ژل PZT

شکل منحنی حاصل از آنالیز حرارتی تفاضلی (DTA) و آنالیز حرارتی وزن‌سنجی (TGA) را نشان می‌دهد که حضور چهار پیک گرمایش در آن مشهود است. اولین پیک بزرگ گرمایش در حوالی ۲۶۵°C قرار دارد که به طور هم‌زمان در منحنی TGA وزن زیادی در این حوالی از دست می‌رود. این پیک می‌تواند ناشی از ازبین رفتن عوامل الكلی باشد که در اثر تجزیه PG به ترکیبات دیگر نظریه لاتکتیک اسید یا استیک اسید به وجود می‌آید. وقوع این واکنش‌ها از طریق کروماتوگرافی یونی محصولات واکنش اثبات شده است [۲۰].

پیک دوم به تجزیه استات سرب به استون و کربنات

سرب مربوط می‌شود [۲۱]:

واکنش (۱)



در بازه‌ی دمایی ۴۵۰-۵۷۵°C دو پیک گرمایش در ۵۲۰°C و ۵۷۵°C مشاهده می‌شود (پیک‌های ۳ و ۴). این منطقه با از دست دادن وزن زیادی در نمودار TGA متراffد است شبیه آنچه در روش آلکوکساید مشاهده می‌شود [۲۱]:

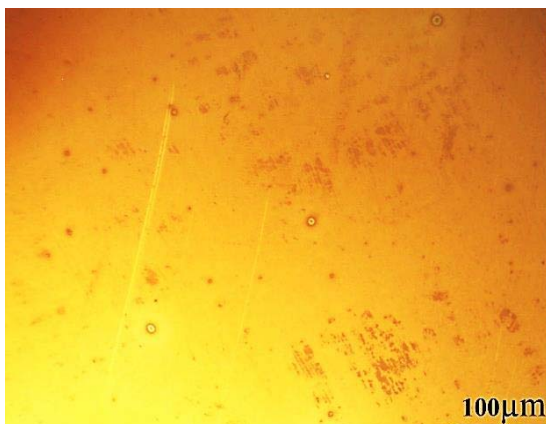
واکنش (۲)

اما نکته قابل تأمل آن است که در دمای بالاتر از ۵۷۵°C هیچ ناحیه‌ی گرمایشی نشان دهنده تبلور فاز پروسکایت باشد در نمودار DTA مشاهده نمی‌شود. بنابراین به نظر می‌رسد تبلور فاز پایدار پروسکایت در این منطقه واقع شده است. در نتیجه دمای تبلور PZT در نمونه‌های تحقیق حاضر کمتر از ۶۰۰°C بوده یا به عبارتی دمای بلوری شدن PZT حاضر به میزان قابل توجهی کمتر از نمونه‌های روش متداول آلکوکساید می‌باشد.

^۱ Small angle XRD

چهار مول پروپوکساید نیاز است. اما در این روش چون از PG (که دارای دو عامل است) استفاده شده است، به ازای هر یک مول زیرکونیوم و تیتانیوم به دو مول PG و به ازای هر یک مول سرب به یک مول PG نیاز داریم که محتوای کربن ژل را کاهش می‌دهد. از این رو در مقاله حاضر با جایگزینی پیش‌مواد آلكوکساید حاوی کربن با پیش‌مواد کلریدی انتظار می‌رود لایه‌های تولیدشده، کیفیت مطلوبی داشته باشند. برای تحقیق این فرضیه سطح فوقانی لایه‌نشانی شده توسط میکروسکوپ نوری مورد بررسی قرار گرفت.

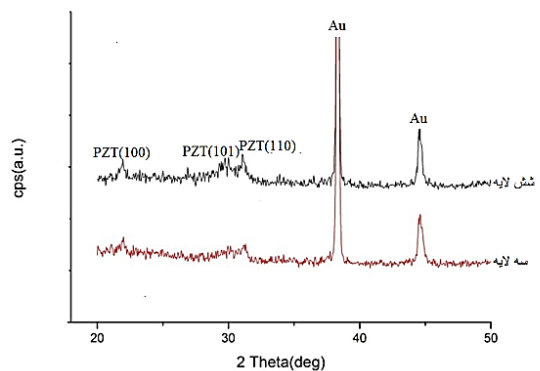
شکل ۴ تصویر میکروسکوپ نوری از لایه تولیدشده را نشان می‌دهد. لازم به ذکر است که لایه نازک نمایش داده شده چندین سال پیش تولید شده‌اند. خراش‌هایی که در عکس مشاهده می‌شوند فقط خراش‌هایی در سطح هستند و ناشی از جابه‌جا کردن نمونه در طی این سال‌ها هستند. آن‌ها ترک نیستند، زیرا ترک هیچ‌گاه به صورت خط راست رشد نمی‌کند. از این رو، شکل نشان‌دهنده حصول لایه‌های نازک یکنواخت می‌باشد. سایر عوارضی که در شکل مشاهده می‌شوند مربوط به زیرلایه طلا یا زیرلایه کوارتز هستند.



شکل ۴. تصویر میکروسکوپ نوری از لایه نازک نشانده شده.

۳-۴- بررسی‌های SEM

شکل تصویر SEM سطح فوقانی لام کوارتز لایه نشانی شده را در بزرگنمایی‌های ۱۲۵۰۰ و شکل سطح را در بزرگنمایی ۳۰۰۰۰ نشان می‌دهد. چنانچه مشخص است لایه رشد داده شده، پس از انجام عملیات حرارتی نهایی، به طور کامل یکنواخت می‌باشد که نشان‌دهنده مناسب بودن روش تهیه سل،



شکل ۳. الگوی پراش اشعه ایکس نمونه‌هایی حاوی ۳ و ۶ لایه.

الگوی پراش اشعه ایکس نمونه‌هایی حاوی ۳ و ۶ لایه را به صورت PZT/Au/SiO₂ نشان می‌دهد با استفاده از نرم افزار PANalytical HighScore X-Perte pیک‌های حاصله با دقت شناسایی گردیدند. هر دو این طیف‌ها رشد ساختار تک‌فاز پروسکایت PZT در لایه‌های تولیدشده را نشان می‌دهند. در این شکل‌ها پیک‌های مربوط به PZT با فاز پروسکایت در زوایای ۳۳-۷۸۴ و ۳۱,۳ درجه منطبق با JCPDS کارت به شماره ۳۳-۷۸۴ می‌باشند. علاوه بر قله‌های پروسکایت قله‌های به خوبی دیده می‌شود. علاوه بر شدت زیاد در زوایای ۳۸,۲ و ۴۴,۵ درجه قابل مشاهده‌اند که منطبق با JCPDS کارت به شماره ۴-۷۸۴ می‌باشند.

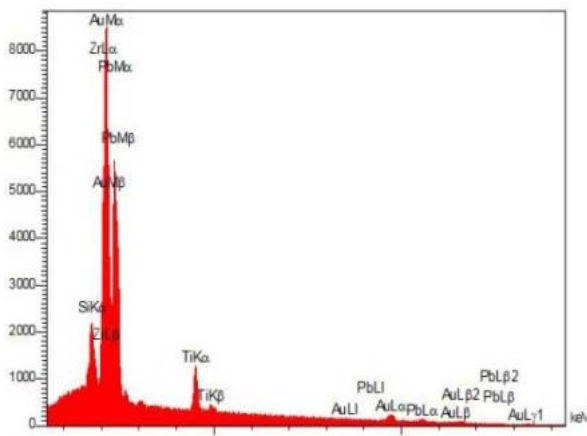
پهن‌شدنگی الگوی XRD لایه‌ها ماهیت نانوساختار آنها را به خوبی اثبات می‌کند. همان‌طور که مشاهده می‌شود با افزایش تعداد لایه‌ها شدت پیک‌های PZT نسبت به زیرلایه طلا افزایش می‌یابد. به علاوه پهنای قله‌ها کاهش یافته که ناشی از تکرار عملیات حرارتی است. بر طبق فرمول شرر (رابطه ۱) و با استفاده از نرم افزار SigmaPlot اندازه بلورهای PZT ۳۶ و ۸۰ نانومتر برای به ترتیب سه و شش لایه است. رابطه شر:

$$D = 0.9\lambda / \beta \cos \theta \quad (1)$$

که در آن λ طول موج CuK α برابر ۱.۵۴ Å، 2θ زاویه برآگ و β پهنای پیک در نیم ارتفاع بیشینه شدت است.

۳-۳- بررسی‌های میکروسکوپ نوری

در روش پایه آلكوکساید از عوامل پروپوکسایدی و بوتوکسایدی استفاده می‌شود. ازانجا که این مواد هر کدام دارای یک گروه عاملی هستند به ازای هر مول زیرکونیوم یا تیتانیوم به

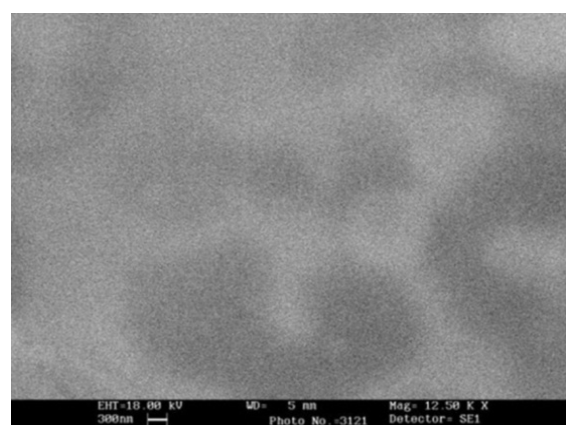
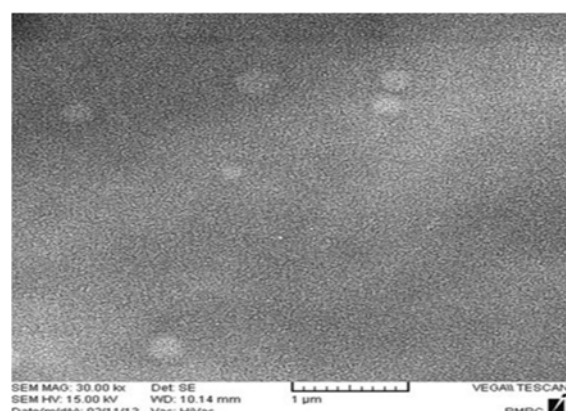


شکل ۷. طیف EDS نمونه آنالیز شده توسط SEM.

۴- نتیجه‌گیری

در این تحقیق از روش بر پایه گلایکل برای تولید لایه‌های نازک با کیفیت PZT استفاده شد. پروپیلن گلایکل یا PG هم به عنوان عامل چنگاله‌کننده و هم به عنوان حلال برای تولید سل پایدار PZT استفاده گردید. مشاهده شده که وجود عوامل چنگاله‌کننده گلیکول، به علت فاصله کمتر بین یون‌های فلزی در مقایسه با پیش‌مواد آلکوکسایدی، تولید لایه‌های نازک نانوساختار در دمایی کمتر از روش آلکوکساید را ممکن ساخت. بدین ترتیب برای اولین بار به این روش تولید لایه‌های نازک با کیفیت PZT در زیر دمای 600°C ممکن گردید که در نتیجه کاهش قابل توجهی در دمای عملیات حرارتی را سبب می‌شود. در نتیجه این دمای کمتر، میزان تبخیر سرب در حین عملیات حرارتی را کاهش می‌دهد و آزاد شدن سرب به عنوان یک ماده سمی کاهش می‌یابد. به علاوه استوکیومتری نمونه بیشتر حفظ می‌شود. مزیت دیگر این روش، استفاده از ZrCl_4 است که یک نمک ارزان‌قیمت است. در حالی که پیش‌مواد آلکوکساید زیرکونیوم گران‌قیمت می‌باشدند. از این‌رو تحقیق حاضر محققان را بی‌نیاز از پیش‌ماده گران‌قیمت آلکوکساید زیرکونیوم می‌نماید. هم‌چنین لایه‌هایی در مدت زمان کوتاه تولید شدند که قابل شناسایی با دستگاه XRD معمولی بودند. بررسی‌های SEM با بزرگنمایی متفاوت و میکروسکوپ نوری حصول لایه‌های نانوساختار یکنواخت را نشان داد. به طور خلاصه، بر مبنای تحقیق حاضر سنتز لایه نازک نانوساختار PZT به کمک الكل چند‌عاملی PG سبب صرفه‌جویی در وقت و هزینه است. نتایج تحقیق حاضر می‌تواند توسط سایر محققان نیز مورد استفاده قرار

یعنی استفاده از پیش‌مواد کلریدی زیرکونیوم و تیتانیوم و هم‌چنین PG به عنوان حلال و عامل چنگاله‌کننده می‌باشد. طیف EDS نمونه PZT آنالیز شده در میکروسکوپ SEM را نشان می‌دهد. با توجه به اکسیدی بودن نمونه وجود خطوط اشعه ایکس زیرکونیوم، تیتانیوم و سرب به خوبی تاییدکننده‌ی عناصر تشکیل‌دهنده ترکیب $\text{Pb}(\text{Zr},\text{Ti})\text{O}_3$ می‌باشد. حضور قله طلا در طیف EDS ناشی از زیرلایه Au استفاده شده SEM و نیز لایه نانومتری طلا نشانده شده برای بررسی‌های SEM می‌باشد زیرا به دلیل دی‌الکتریک بودن PZT، برای بررسی‌های سطح فوقانی لام با لایه‌ای نانومتری از طلا پوشانده شد تا از شارژ نمونه در حین آنالیز SEM پرهیز شود. مشاهده‌ی خط سیلیکون ناشی از زیرلایه کوارتز است که به نوبه‌ی خود ضخامت زیرمیکرون لایه را تایید می‌کند.

شکل ۵. تصویر SEM دستگاه LEO 435 VP لایه پس از عملیات حرارتی در 575°C (بزرگنمایی $12500\times$).شکل ۶. تصویر SEM دستگاه VEGA2 TSCAN لایه پس از عملیات حرارتی در 575°C (بزرگنمایی $30000\times$).

11. H. Gavilán, E.H. Sánchez, M.E. Brollo, L. Asín, K.K. Moerner, C. Frandsen, F.J. Lázaro, C.J. Serna, S. Veintemillas-Verdaguer, M.P. Morales, Formation Mechanism of Maghemite Nanoflowers Synthesized by a Polyol-Mediated Process, *ACS Omega*, 2 (2017) 7172-7184.
12. D.R. Lide, CRC handbook of chemistry and physics: a ready-reference book of chemical and physical data, CRC press, 1995.
13. Z. Chen, W. Jin, Z. Lu, C. Hu, Ferromagnetic and photocatalytic properties of pure BiFeO₃ powders synthesized by ethylene glycol assisted hydrothermal method, *Journal of Materials Science: Materials in Electronic* 26 (2015) 1077-1086.
14. K. Babooram, Z.-G. Ye, New soft chemical routes to ferroelectric SrBi₂Ta₂O₉, *Chemistry of materials*, 18 (2006) 532-540.
15. B. Abbasi, H. Guo, H. Wu, H.N. Tailor, Z.-G. Ye, An ethylene glycol-based new sol-gel route to multiferroic (1-x) LaCrO₃-x BiCrO₃ solid solution, *Canadian Journal of Chemistry*, 96 (2017) 255-259.
16. P. Belleville, J. Bigarde, P. Boy, Y. Montouillout, Stable PZT sol for preparing reproducible high-permittivity perovskite-based thin films, *Journal of sol-gel science and technology*, 43 (2007) 213-221.
17. A. Bardaine, P. Boy, P. Belleville, O. Acher, F. Levassort, Improvement of composite sol-gel process for manufacturing 40 µm piezoelectric thick films, *Journal of the European Ceramic Society*, 28 (2008) 1649-1655.
18. X. Jiang, Y. Wang, T. Herricks, Y. Xia, Ethylene glycol-mediated synthesis of metal oxide nanowires, *Journal of Materials Chemistry*, 14 (2004) 695-703.
19. S. Budavari, The Merck Index, an encyclopedia of chemical drug, and biologicals, in, Merck, 1989.
20. W.J. Rossiter Jr, M. Godette, P.W. Brown, K.G. Galuk, An investigation of the degradation of aqueous ethylene glycol and propylene glycol solutions using ion chromatography, *Solar Energy Materials*, 11 (1985) 455-467.
21. T.I. Chang, S.C. Wang, C.P. Liu, C.F. Lin, J.L. Huang, Thermal behaviors and phase evolution of lead zirconate titanate prepared by sol-gel processing: the role of the pyrolysis time before calcination, *Journal of the American Ceramic Society*, 91 (2008) 2545-2552.

بگیرد و به علاوه در تولید سایر نانو ساختارهای PZT اعم از
نانولله‌ها، نانومیله‌ها، نانوسیم‌ها، نانوذرات و ... مورد استفاده
قرار گیرد.

مراجع

1. N. Setter, D. Damjanovic, L. Eng, G. Fox, S. Gevorgian, S. Hong, A. Kingon, H. Kohlstedt, N. Park, G. Stephenson, Ferroelectric thin films: Review of materials, properties, and applications, *Journal of Applied Physics*, 100 (2006) 051606.
2. N. Izyumskaya, Y.-I. Alivov, S.-J. Cho, H. Morkoç, H. Lee, Y.-S. Kang, Processing, structure, properties, and applications of PZT thin films, *Critical Reviews in Solid State and Materials Sciences*, 32 (2007) 111-202.
3. D. Newns, B. Elmegreen, X.-H. Liu, G. Martyna, The piezoelectronic transistor: A nanoactuator-based post-CMOS digital switch with high speed and low power, *MRS bulletin*, 37 (2012) 1071-1076.
4. A. Safari, E.K. Akdogan, Piezoelectric and acoustic materials for transducer applications, *Springer Science & Business Media*, 2008.
5. F. Griggio, H. Kim, S. Ural, T. Jackson, K. Choi, R. Tutwiler, S. Trolier-McKinstry, Medical Applications of Piezoelectric Microelectromechanical Systems, *Integrated Ferroelectrics*, 141 (2013) 169-186.
6. G. Ovchinnikova, Y.A. Pirogov, N. Bobkov, N. Belugina, R. Gainutdinov, A. Tolstikhina, AFM investigation of the mechanism for microwave effect on ferroelectric triglycine sulfate, *Physics of Wave Phenomena*, 21 (2013) 52-55.
7. A.J. Moulson, J.M. Herbert, Electroceramics: materials, properties, applications, *John Wiley & Sons*, 2003.
8. Q. Zou, S. Nourbakhsh, J. Kim, Novel polyol-derived sol route for fabrication of PZT thin ferroelectric films, *Materials Letters*, 40 (1999) 240-245.
9. A.D. Polli, F.F. Lange, C.G. Levi, Metastability of the Fluorite, Pyrochlore, and Perovskite Structures in the PbO-ZrO₂-TiO₂ System, *Journal of the American Ceramic Society*, 83 (2000) 873-881.
10. X. Meng, J. Cheng, B. Li, S. Guo, H. Ye, J. Chu, Low-temperature preparation of highly (1 1 1) oriented PZT thin films by a modified sol-gel technique, *Journal of Crystal Growth*, 208 (2000) 541-545.